

Измеренные времена  $\tau_{\text{He}}$ ,  $\tau_{\text{Ar}}$  и  $\tau_{\text{Xe}}$  имеют значения, весьма близкие к полученным методом флуоресценции в работах [4, 5], а также находятся в согласии со значениями, приведенными в работе [8]. Время  $\tau_{\text{He}}$  совпадает в пределах ошибки измерений с величинами, найденными в работах [6-7].

В заключение приношу искреннюю благодарность П. В. Слободской за руководство и большое внимание к работе.

### Литература

- [1] П. В. Слободская. Опт. и спектр., 34, 678, 1973.
- [2] R. Tripodi, W. G. Vincenti. J. Chem. Phys., 55, 2207, 1971.
- [3] M. Huetz-Aubert, R. Tripodi. J. Chem. Phys., 55, 5724, 1971.
- [4] J. T. Jardley, C. B. Moore. J. Chem. Phys., 46, 4491, 1967.
- [5] J. C. Stephenson, R. E. Woode, C. B. Moore. J. Chem. Phys., 54, 3097, 1971.
- [6] T. L. Cottrell, M. A. Day. Molecular Relaxation Processes. Academic, London, 1966.
- [7] M. Huetz, P. Chevalier. Adv. Mol. Rel. Processes, 2, 101, 1970.
- [8] F. Cannemeijer, M. H. De Vascancelos, A. E. De Vries. Physica, 53, 77, 1971.

Поступило в Редакцию 8 января 1973 г.

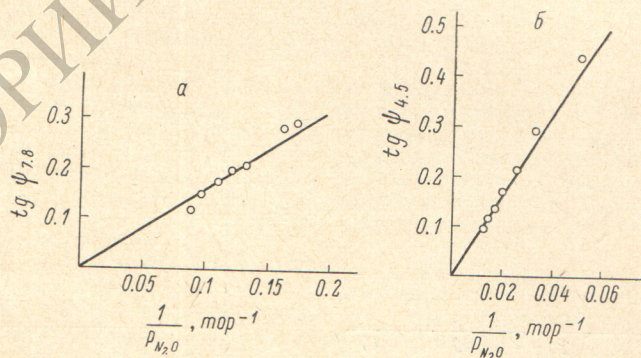
УДК 539.194

## О КОЛЕБАТЕЛЬНОЙ РЕЛАКСАЦИИ МОЛЕКУЛЫ ЗАКИСИ АЗОТА

П. В. Слободская

В основу описания процесса колебательной релаксации в линейных трехатомных молекулах типа  $\text{CO}_2$  кладется обычно предположение о том, что симметричное валентное и деформационное колебания этих молекул находятся в равновесии друг с другом и релаксируют с одинаковой скоростью, определяющейся временем колебательно-поступательной релаксации  $\tau_{\text{v,t}}$  [1, 2].

В настоящей заметке приводятся данные, подтверждающие справедливость этого предположения применительно к молекуле  $\text{N}_2\text{O}$  на основании исследования этой моле-



Зависимость тангенса сдвига фазы сигнала спектрофона от обратного давления.

а — возбуждается колебание  $\nu_1$  ( $\omega=5180$  сек. $^{-1}$ ), б — возбуждается колебание  $\nu_2$  ( $\omega=4830$  сек. $^{-1}$ ).

кулы с помощью спектрофона. Кроме того, заново интерпретируются результаты прежних исследований колебательной релаксации асимметричного колебания этой молекулы, которые рассматривались ранее в предположении о возможности одноступенчатого процесса релаксации уровня  $00^2_1$  [3, 4].

В отличие от  $\text{CO}_2$  в молекуле  $\text{N}_2\text{O}$  симметричное валентное колебание является оптически активным, так что все основные колебания этой молекулы могут быть возбуждены независимо друг от друга радиацией, излучаемой тепловым источником в областях спектра 4.5, 7.8 и 17 мкм.

Нами проведены измерения абсолютных значений сдвига фазы спектрофона при возбуждении молекулы  $N_2O$  на полосе 7.8 мкм ( $\nu_1$ ) и разности фаз сигналов на этой полосе и на полосе 17 мкм ( $\nu_2$ ). Сопоставление этих результатов между собой и с ранее полученными экспериментальными данными послужило для уточнения абсолютных значений сдвигов фазы для различных полос поглощения  $N_2O$ .

Исследования в области 7.8 мкм проведены с помощью методики, описанной в работе [5]. Они производились при давлениях около 10 тор, комнатной температуре и при частоте модуляции  $\omega = 5180$  сек.<sup>-1</sup>.

На рисунке *a* приведены результаты — значения тангенса сдвига фазы относительно радиации при возбуждении на полосе 7.8 мкм.

Измерения разности фаз в областях спектра 17 и 7.8 мкм, с другой стороны, показывают, что в этом случае сигналы почти полностью совпадают по фазе. Разность  $\Delta\psi = \psi_{7.8} - \psi_{17}$  при давлении 40 тор составляет величину, равную всего лишь  $0.6^\circ$  (при той же частоте), и имеет отрицательный знак ( $\psi_{17} > \psi_{7.8}$ ). Использование этих данных совместно с приведенными на рисунке, *a* позволяет определить угол  $\psi_{17}$  и, следовательно, величину  $p\tau_{VT}$  закиси азота.

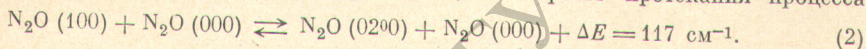
При интерпретации результатов необходимо принять во внимание, что измеряемое в закиси азота при возбуждении деформационного колебания время  $\tau_{sp}$  оказывается, как и в случае углекислого газа, меньше истинного времени колебательно-поступательной релаксации  $\tau_{VT}$  [5]. Последняя величина должна быть найдена с учетом соотношения

$$p\tau_{VT} = \frac{p\tau_{sp}}{1 - \frac{C_{\text{колеб.}}}{C_{\text{полн.}}}} = \frac{\frac{\text{tg } \psi_{17}}{\omega}}{1 - \frac{C_{\text{колеб.}}}{C_{\text{полн.}}}}, \quad (4)$$

где  $\psi_{17}$  — сдвиг фазы спектрофона при возбуждении деформационного колебания;  $C_{\text{колеб.}}$  — составляющая теплоемкости, определяющаяся колебательными степенями свободы;  $C_{\text{полн.}}$  — полная теплоемкость молекулы.

Подставляя в (4) значение  $[1 - (C_{\text{колеб.}}/C_{\text{полн.}})] = 0.68$  и измеренное значение сдвига фазы  $\psi_{17}$ , получаем, что время  $p\tau_{VT}$  составляет величину 0.8 мсек. · атм., что не сильно расходится с результатом его определения методом ультразвука — 0.99 мсек. · атм. [6].

Далее, несмотря на небольшую точность измерения угла  $\Delta\psi = \psi_{7.8} - \psi_{17}$  (ошибка составляла 50%), имеется возможность найти верхний предел времени колебательно-колебательной релаксации  $p\tau_{VV}^{(100)}$ , определяющего скорость протекания процесса



Действительно, можно применить теорию Триподи [2] к системе, состоящей из трех резервуаров энергии в молекуле  $N_2O$ , ограничив эту систему уровнями не выше  $10^\circ$ . Объединив уровни деформационного колебания в первом резервуаре, выделив уровень  $10^\circ$  во второй из них и отнеся к третьему поступательные и вращательные степени свободы, можно, имея в виду диапазон значений  $\omega/p$ , в котором производились измерения (малые значения углов  $\psi_{7.8}$  и  $\psi_{17}$ ), а также соотношение между колебательными составляющими теплоемкости, написать в линейном приближении<sup>1</sup>

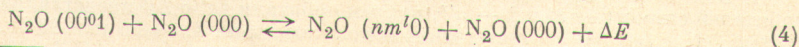
$$\psi_{7.8} - \psi_{17} = [(G_1 - 1)p\tau_{VT} + p\tau_{VV}^{(100)}] \frac{\omega}{p}, \quad (3)$$

где  $\psi_{7.8} - \psi_{17}$  разность фаз, соответствующая возбуждению на полосах 7.8 и 17 мкм,  $p\tau_{VV}^{(100)}$  — время колебательно-колебательной релаксации для процесса (2), при котором поступательным степеням свободы передается доля энергии уровня 100, равная  $1 - G_1$ . Величина

$$G_1 = \frac{\nu_{020}}{\nu_{100}} = \frac{1169}{1286} = 0.91 [7].$$

Подставляя в соотношение (3) это значение  $G_1$  и  $p\tau_{VT} = 0.8$  мсек. · атм., получаем, что верхний предел  $p\tau_{VV}^{(100)}$  составляет 0.02 мсек. · атм., т. е. что скорость протекания процесса (2) по крайней мере в 40 раз больше, чем скорость релаксации уровня  $01^\circ$ .

Приведенные выше результаты измерений дополняют наши прежние экспериментальные данные. Они позволяют уточнить аппаратный сдвиг фазы на рис. 1 работы [4] для полос 4.5 и 2.9 мкм, а следовательно, и абсолютные значения соответствующих этим полосам сдвигов фазы  $\psi_{4.5}$  и  $\psi_{2.9}$ . На рисунке, *b* представлены обработанные таким образом результаты для полосы 4.5 мкм (уровень  $00^\circ 1$ ) в виде зависимости тангенса  $\psi_{4.5}$  от величины, обратной давлению газа. Наклон прямой, проходящей через точки для больших давлений (начальный линейный участок графика), может быть использован для нахождения параметра  $G_2 = \nu_{nm'0}/\nu_{00'1}$ , характеризующего процесс



<sup>1</sup> Вероятностью прямого колебательно-поступательного перехода с уровня 100 пренебрегаем.

с помощью соотношения (см. работу [8])

$$p\tau_{sp} = \operatorname{tg} \psi_{4.5/\omega} = \left[ \left( G_2 - \frac{C_{\text{колеб.}}}{C_{\text{полл.}}} \right) p\tau_{vT} + p\tau_{vv}^{001} \right], \quad (5)$$

где  $p\tau_{vv}^{(001)}$  — время колебательно-колебательной релаксации для процесса (4).

Используя результат работы [9], т. е. считая значение  $p\tau_{vv}^{(001)}$  равным 1.74 мксек.  $\times$  атм., получаем, принимая  $C_{\text{колеб.}}/C_{\text{полл.}} = 0.32$  и  $p\tau_{vT} = 0.8$  мксек  $\cdot$  атм., что параметр  $G_2 = 0.95$ , т. е. что параметр  $G_2$  имеет величину, указывающую на преимущественную передачу энергии уровня  $00^0_1$  колебательным уровням, весьма близко расположенным к исходному.

### Литература

- [1] C. V. Moore, R. E. Wood, B. L. Hu, J. T. Yardley. *J. Chem. Phys.*, **46**, 4222, 1967.
- [2] R. Tripodi, W. G. Vincenti. *J. Chem. Phys.*, **55**, 2207, 1971.
- [3] П. В. Слободская, Н. Ф. Ткаченко. *Опт. и спектр.*, **23**, 480, 1967.
- [4] П. В. Слободская, Н. Ф. Ткаченко. *Опт. и спектр.*, **26**, 195, 1969.
- [5] П. В. Слободская. *Опт. и спектр.*, **34**, 678, 1973.
- [6] J. W. Arnold, J. C. Mc. Coubrey, A. R. Ubbelohde. *Proc. Roy. Soc.*, **248A**, 445, 1958.
- [7] R. P. Grosso, T. K. McCubbin. *J. Mol. Spectry*, **13**, 240, 1964.
- [8] M. Huetz — Aubert, P. Chevalier, R. Tripodi, *J. Chem. Phys.*, **54**, 2289, 1971.
- [9] J. T. Yardley. *J. Chem. Phys.*, **49**, 2816, 1968.

Поступило в Редакцию 8 января 1973 г.

УДК 539.19.4

## ФОТОЭЛЕКТРОННЫЕ СПЕКТРЫ И СТРУКТУРА МОЛЕКУЛЯРНЫХ ОРБИТАЛЕЙ МЕТИЛАМИНОВ

В. И. Вовна и Ф. И. Вилесов

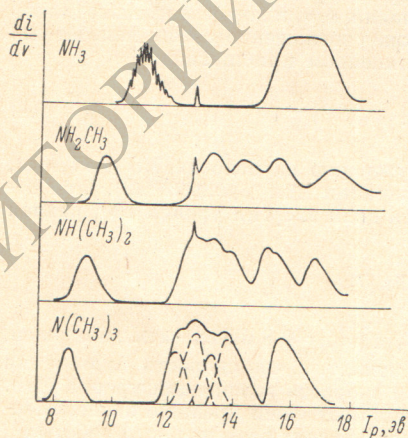
Фотоэлектронный (ФЭ) спектр  $\text{NH}_3$  с высоким разрешением получен Тернером [1] и Брантоном с соавторами [2]. В этих работах показано, что первый потенциал ионизации ( $I_p$ ), равный 10.15 эв, соответствует удалению электронов с орбитали  $3a_1$  ( $2p_zN$ ).

Вторая полоса с плоской вершиной в области 15 ÷ 16 эв обусловлена связывающей МО  $1e$ . В ряде работ также приведены ФЭ спектры или потенциалы ионизации метиламинов. Однако в них или не делается попыток отнесения  $I_p$  к связывающим МО N—C, N—H и C—H [3], или интерпретация спектров не является полной и вызывает определенные возражения [4, 5]. В работе [3] наряду с результатами эксперимента приведены значения энергии МО молекул  $\text{NH}_2\text{CH}_3$ ,  $\text{NH}(\text{CH}_3)_2$  и  $\text{N}(\text{CH}_3)_3$ , полученные квантовомеханическим расчетом методами CNDO/2 и INDO без указания симметрии и локализации МО. В работе [5] также даны энергии МО  $\text{N}(\text{CH}_3)_3$ , рассчитанные методом CNDO/2.

В данной работе сделана попытка отнесения  $I_p$  к МО N—C, N—H и C—H типов на основании закономерностей ФЭ спектров, полученных в нашей лаборатории, изучения симметрии заполненных орбиталей и литературных расчетных данных. Фотоэлектронный спектрометр и методика получения спектров описаны ранее [6, 7]. Ошибка в определении  $I_p$  разрешенных полос не превышает 0.02 эв.

В молекуле  $\text{NH}_2(\text{CH}_3)$  (симметрия  $C_s$ ) 14 валентных электронов заполняют пять орбиталей симметрии  $a'$  и 2 —  $a''$ , причем орбитали  $1a'$  и  $2a'$  представляют собой почти чистые  $2sN$  и  $2sC$  АО соответственно и должны иметь  $I_p \sim 30$  и  $\sim 20$  эв. Верхнюю заполненную МО  $5a'$ , как и в  $\text{NH}_3$ , можно аппроксимировать АО  $2p_zN$ .

Оставшимся четырем МО в ФЭ спектре (см. рисунок) соответствуют полосы с максимумами у 13.11, 14.35, 15.46 и 16.89 эв. Интерпретация этих



ФЭС аммиака и метиламинов.

Узкая полоса в районе 12.6 эв соответствует первому  $I_p$   $\text{H}_2\text{O}$ .